

ОБЪЕДИНЕННЫЙ  
ИНСТИТУТ  
ЯДЕРНЫХ  
ИССЛЕДОВАНИЙ  
ДУБНА

P1-86-585

В.Г.Гришин, К.Миллер, Я.Плота, Т.Павляк\*,  
В.Пэрыт\*, З.Стругальский\*

НАБЛЮДЕНИЕ ЭФФЕКТА ( $\pi^0 \pi^0$ )-ИНТЕРФЕРЕНЦИИ  
И РАЗМЕРЫ ОБЛАСТИ  
ИСПУСКАНИЯ  $\pi^0$ -МЕЗОНОВ  
В  $\pi^-$ -He ВЗАИМОДЕЙСТВИЯХ ПРИ 3,5 ГэВ/с

Направлено в журнал "Ядерная физика"

\* Институт физики Варшавского технического университета

1986

## ВВЕДЕНИЕ

Корреляционные характеристики тождественных адронов, испускаемых с малыми относительными импульсами, содержат информацию о пространственно-временных параметрах процессов генерации частиц. Этот, в настоящее время хорошо известный факт, используется для получения сведений о размерах области испускания частиц в соударениях высоких энергий.

Метод, позволяющий извлечь информацию о пространственно-временных характеристиках источников на основе анализа двух-частичной корреляционной функции, был разработан Копыловым и Подгорецким <sup>/1, 2/</sup>, а также предложен Коккони <sup>/3/</sup>. Во многих последующих работах рассматривалось влияние различных факторов на поведение корреляционной функции как бозонов, так и фермионов <sup>/4-9/</sup>. В экспериментальных работах исследовались корреляции заряженных пионов в адрон-адронных <sup>/10-12/</sup>, адрон-ядерных <sup>/13, 14/</sup>, ядро-ядерных реакциях <sup>/15-17/</sup>, а также в  $e^+e^-$ -аннигиляции <sup>/18, 19/</sup>.

Работы по определению размеров области испускания  $\pi^0$ -мезонов пока отсутствуют, хотя эти частицы являются хорошим объектом для исследования их интерференции из-за отсутствия эффектов кулоновского отталкивания. Регистрация  $\pi^0$ -мезонов, а тем более одно-временная идентификация нескольких  $\pi^0$ -мезонов в одном событии, требуют, однако, высокой эффективности регистрации гамма-квантов в широком диапазоне их энергии и углов эмиссии, что является трудно выполнимым условием для многих экспериментальных установок.

Ксеноновая пузырьковая камера достаточно больших размеров позволяет регистрировать гамма-кванты с эффективностью, близкой к 100%, если  $E_\gamma$  больше, чем 15 МэВ, что дает возможность идентифицировать  $\pi^0$ -мезоны, начиная с их нулевых кинетических энергий.

Целью настоящей работы является исследование двухчастичных корреляций  $\pi^0$ -мезонов, испускаемых в  $\pi^-$ -Xe-взаимодействиях, зарегистрированных на снимках с ксеноновой пузырьковой камеры. Угловые корреляции между  $\pi^0$ -мезонами в  $\pi^-$ -Xe-взаимодействиях при 9 ГэВ/с описаны в работе <sup>/20/</sup>.

## ЭКСПЕРИМЕНТАЛЬНЫЕ ДАННЫЕ

Ксеноновая пузырьковая камера размерами  $103 \times 44 \times 40$  см<sup>3</sup> облучалась в пучке отрицательных пионов с импульсами 3,5 ГэВ/с.

Отбирались взаимодействия пучковых частиц с ядрами ксенона ( $Z = 54$ ,  $\langle A \rangle = 131,3$ ) в выделенной центральной области камеры размерами  $40 \times 10 \times 10$  см<sup>3</sup>. Для каждого отобранного события определялось число вторичных заряженных частиц и число сопровождающих гамма-квантов. Среди заряженных частиц идентифицировались протоны в энергетическом интервале от 20 до 400 МэВ. Более подробное описание методических вопросов регистрации заряженных частиц в ксеноновой камере дано в работах <sup>/21, 22/</sup>.

Суммарное число отобранных событий составляет 6301. Число событий с  $N_\gamma \geq 4$ , которые являлись предметом анализа в этой работе, составляет 1141.

### а) Регистрация гамма-квантов

Большая плотность жидкого ксенона ( $\rho_{Xe} = 2,18$  г/см<sup>3</sup>), а также относительно большие размеры камеры ( $25 \times 11 \times 10 t_0^3$ , где  $t_0$  - радиационная единица,  $(t_0)_{Xe} = 4$  см) позволяют регистрировать гамма-кванты с  $E_\gamma \geq 15$  МэВ с практически постоянной, близкой к 100%, эффективностью по следам электронов конверсии. Следы электронов по своему характеру четко выделяются среди треков более тяжелых частиц. Ливни, образованные энергичными гамма-квантами, в большинстве случаев полностью развиваются в камере.

Для каждого зарегистрированного гамма-кванта измерялись координаты точки конверсии, определялась его потенциальная длина в камере и измерялся суммарный пробег соответствующих ему электронных и позитронных следов, по которому определялась энергия гамма-кванта. В процедуре определения энергии гамма-квантов учитывалось возможное "обрезание" ливней из-за ограниченности размеров камеры.

Среднее количество гамма-квантов в зарегистрированных событиях равно 1,7; средние ошибки определения их энергии и углов эмиссии составляют соответственно 17% и  $1,2^\circ$ .

Потери гамма-квантов из-за условий их регистрации в камере составляют: конверсия вне камеры - 6%, взаимное перекрывание ливней - 2%, конверсия вблизи точки взаимодействия - 0,8%, другие потери  $\approx 1\%$ . В результате анализа было установлено, что средняя эффективность регистрации гамма-квантов составляет 90% и существенно не зависит от энергии гамма-квантов и их множественности.

### б) Определение характеристик $\pi^0$ -мезонов

В подавляющем большинстве событий число гамма-квантов четное <sup>/23/</sup>. События с нечетным числом  $N_\gamma$  (13% от всех отобранных событий) являются прежде всего результатом того, что один из  $N + 1$  гамма-квантов не был зарегистрирован. Распределение по эффективным массам  $M_{\gamma\gamma}$  в событиях с  $N_\gamma = 2$  показывает, что основным источником гамма-квантов являются  $\pi^0$ -мезоны с небольшой

примесью  $\approx 4\%$   $\eta^0$ -мезонов. В событиях с  $N_{\gamma} > 2$   $\pi^0$ -и  $\eta^0$ -мезоны идентифицировались путем нахождения такой комбинации пар гамма-квантов, для которых их эффективные массы  $M_{\gamma\gamma}$  наиболее близки к массам  $\pi^0$ - или  $\eta^0$ -мезона <sup>/24/</sup>. Для идентифицированных  $\pi^0$ -мезонов проведена коррекция энергии соответствующих им гамма-квантов при условии совпадения эффективной массы  $M_{\gamma\gamma}$  с массой  $\pi^0$ -мезона. Энергии и углы эмиссии идентифицированных  $\pi^0$ -мезонов определялись по характеристикам соответствующих гамма-квантов.

Средние ошибки определения энергии и углов эмиссии  $\pi^0$ -мезонов (после процедуры коррекции) составляют соответственно 9,3% и 1,9°.

### ПАРАМЕТРИЗАЦИЯ КОРРЕЛЯЦИОННОЙ ФУНКЦИИ

Эффект интерференции тождественных бозонов проявляется в виде увеличенной вероятности испускания пар идентичных частиц по отношению к случаю, когда нет интерференции. Количественно эффект выражается в виде соотношения

$$R(P_1, P_2) = \frac{D(P_1, P_2)}{D_0(P_1, P_2)}, \quad (1)$$

где  $P_1, P_2$  - 4-импульсы частиц,  $D(P_1, P_2)$  - плотность пар тождественных частиц в фазовом пространстве,  $D_0(P_1, P_2)$  - плотность пар при условиях отсутствия интерференции. Исходя из общих представлений о природе интерференционного эффекта, это соотношение можно выразить в виде зависимости от разницы 4-импульсов  $q = P_1 - P_2$ :

$$R(q, p) = 1 + \Delta(q, p), \quad (2)$$

где  $p = (P_1 + P_2) / 2$ . Общими свойствами функции  $\Delta(q, p)$  являются:  $\Delta(q, p) \rightarrow 1$  при  $q \rightarrow 0$  и  $\Delta(q, p) \rightarrow 0$  для значений  $q$  вне области интерференции.

В области интерференции эта функция зависит от пространственно-временных характеристик излучающей области, а ее конкретный вид можно сформулировать, предполагая определенный механизм генерации частиц.

В традиционном подходе Копылова-Подгорецкого<sup>/1/</sup> где предполагается, что частицы излучаются независимыми точечными источниками с временем жизни  $\tau$ , расположенными на поверхности сферы с радиусом  $r$ , функция  $\Delta$  имеет вид:

$$\Delta(q_T, q_0; r, \tau) = \frac{[2J_1(q_T r) / q_T r]^2}{1 + (q_0 r)^2}, \quad (3)$$

где  $\vec{q}_T = \vec{q} - \vec{n}(\vec{q}, \vec{n})$ ,  $\vec{n} = \vec{p} / |\vec{p}|$ ,  $q_0 = E_1 - E_2$ , т.е. выражается через разницу энергии частиц и поперечную составляющую разницы их импульсов по отношению к направлению движения пары ( $r$  и  $\tau$  являются здесь параметрами распределения). Если предположить, что распределение плотности источников в пространстве сферически-симметрично и не зависит от распределения временных интервалов генерации частиц, а также что эти распределения можно описать функциями Гаусса:

$$\rho(\vec{r}, t) = \frac{1}{(2\pi)^2 r_0^3 r} e^{-\frac{\vec{r}^2}{2r_0^2} - \frac{t^2}{2\tau^2}}, \quad (4)$$

то функцию  $\Delta(q, p)$  можно записать в виде:

$$\Delta(\vec{q}, q_0; r_0, \tau) = e^{-\vec{q}^2 r_0^2 - q_0^2 \tau^2}. \quad (5)$$

Приведенные выше описания предполагают, что частицы излучаются независимо, а их импульсы определяются в общей системе покоя источников, что в реальных ситуациях не всегда соответствует действительности.

Учет когерентности и других факторов, влияющих на силу эффекта, определяется переходом  $\Delta \rightarrow \lambda \Delta$ , где  $\lambda$  - феноменологический параметр. За систему покоя источников принимается обычно система центра масс сталкивающихся частиц. В случае ядерных реакций, где отдельные события соответствуют разным параметрам столкновения, выбор подходящей системы отсчета является затруднительным, и анализ проводится либо в лабораторной системе<sup>/17/</sup>, либо в системе центра масс нуклон-нуклон<sup>/14/</sup>. Иногда<sup>/19/</sup> описание эффекта осуществляется выбором переменной:

$$Q^2 = -(P_1 - P_2)^2. \quad (6)$$

Переменная  $Q$  соответствует удвоенному импульсу одной из частиц в их собственной системе отсчета, так как в этой системе  $q_0 = 0$ . В таком случае функция  $\Delta$  принимает вид:

$$\Delta(Q; r_0) = e^{-Q^2 r_0^2}, \quad (7)$$

т.е. определяется только пространственным параметром области излучения  $r_0$ . Следует, однако, иметь в виду, что зависимость от времени остается и здесь в неявном виде, если эта система не совпадает с системой покоя источников<sup>/25/</sup>.

## АНАЛИЗ РЕЗУЛЬТАТОВ ЭКСПЕРИМЕНТА

Эффект интерференционных корреляций определяется в эксперименте как

$$R(q, p) = A \frac{N(q, p)}{N_0(q, p)}, \quad (8)$$

где  $N(q, p)$  - число пар пионов в заданном интервале  $p$  и  $q$ ,  $N_0(q, p)$  - число пар пионов в условиях, обеспечивающих отсутствие интерференции,  $A$  - нормировочный множитель. Распределения  $N_0(q, p)$ , т.н. фоновые распределения, были получены путем комбинирования пионов из разных событий, но с одинаковым числом  $N_{\pi^0}$ . Анализ проводился в лабораторной системе отсчета.

Рис.1 представляет экспериментальное распределение  $R(q, p)$  в зависимости от переменных  $(q_T, q_0)$ . Из-за ограниченности статистического материала исследовались только одномерные распределения для разных интервалов  $q_T$  и  $q_0$ , указанных на рисунке. Распределения аппроксимировались по формулам, полученным из (3), в предположении о взаимной независимости параметров  $\gamma$  и  $\tau$ :

$$R(q_T; \tau) = A(1 + \lambda[2J_1(q_T \tau) / q_T \tau]^2), \quad (9)$$

$$R(q_0; \tau) = A[1 + \lambda/(1 + q_0^2 \tau^2)],$$

где  $A$  - нормировочный коэффициент. Распределения нормированы на одинаковое число пар для значений  $q_0$  (или  $q_T$ ) больше 0,3 ГэВ (0,3 ГэВ/с), т.е. в области, где корреляционный эффект не играет существенной роли. Табл.1 содержит результаты аппроксимации.

Таблица 1

Результаты аппроксимации распределения по  $q_T$  и  $q_0$  формулами (9) для разных интервалов  $q_0$  и  $q_T$

Тип распределения	Интервал $q_0$ (ГэВ) или $q_T$ (ГэВ/с)	$A$	$\lambda$	$\gamma, \tau$ (фм)	$\chi^2/\text{число ст.своб.}$
$R = f(q_T; \tau)$	$0 < q_0 \leq 0,15$	$0,75 \pm 0,15$	$1,2 \pm 0,4$	$1,2 \pm 0,3$	17/14
	$0,15 < q_0 \leq 0,30$	$0,95 \pm 0,30$	$0,6 \pm 0,4$	$1,1 \pm 0,7$	9/13
$R = f(q_0; \tau)$	$0 < q_T \leq 0,15$	$0,7 \pm 0,3$	$1,5 \pm 1,0$	$0,6 \pm 0,3$	7/10
	$0,15 < q_T \leq 0,30$	$0,7 \pm 0,2$	$0,7 \pm 0,4$	$0,6 \pm 0,4$	13/12

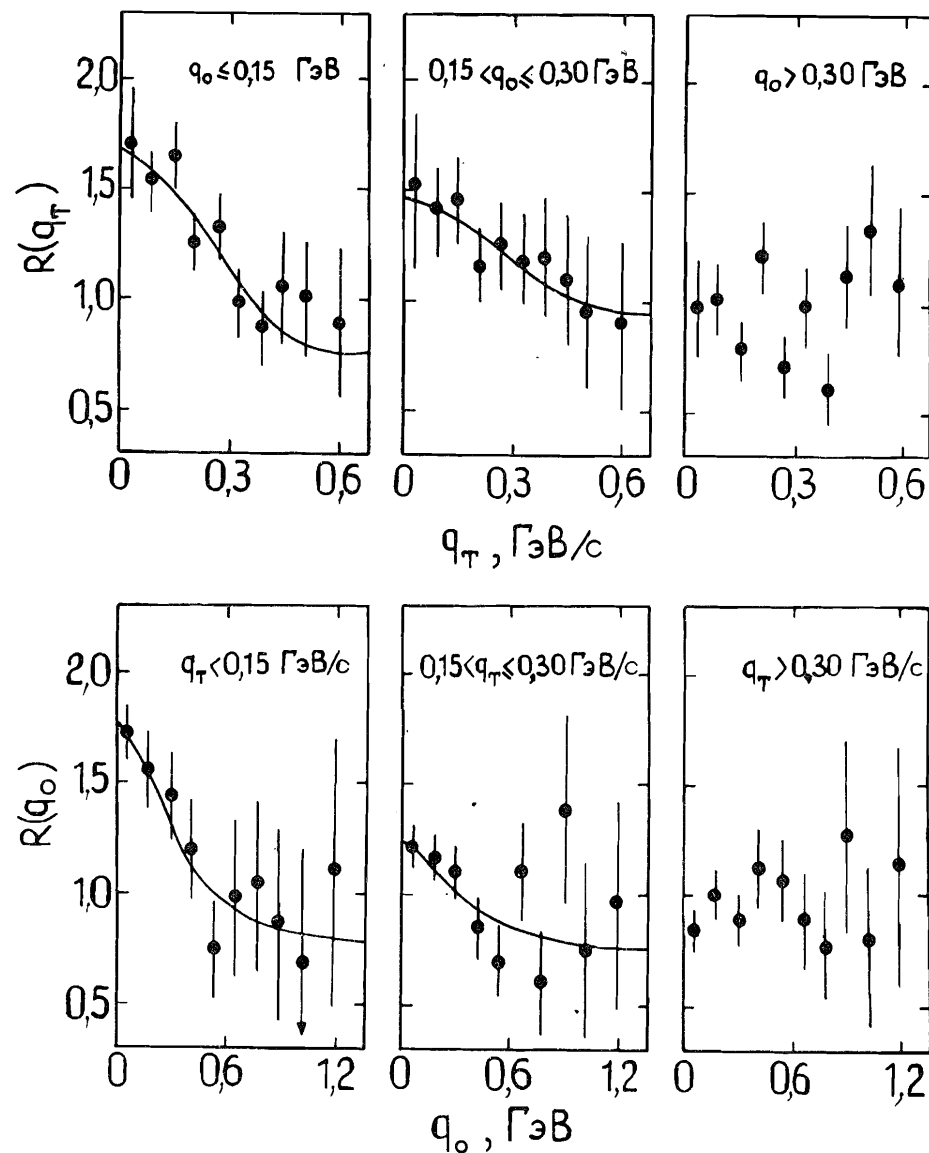


Рис.1. Экспериментальные распределения  $R(q_T)$  (для разных интервалов  $q_0$ ) и  $R(q_0)$  (для разных интервалов  $q_T$ ). Кривые представляют результат аппроксимации по формулам (9).

Рис.1 и табл.1 демонстрируют характерные черты наблюдаемого эффекта. Самые сильные корреляции видны в области, где одновременно есть минимальные значения как  $q_T$ , так и  $q_0$ . С их увеличением "сила" эффекта уменьшается, что отражает также меньшие значения

параметра  $\lambda$  при неменяющихся параметрах  $\tau$  и  $\tau$ . С дальнейшим увеличением  $q_T$  и  $q_0$  эффект исчезает.

Для оценки точности определения  $q_T$ ,  $q_0$  и других корреляционных переменных, а также для проверки влияния экспериментальных ошибок на результаты аппроксимации было проведено моделирование корреляционного эффекта с учетом ошибок в определении импульсов и углов эмиссии  $\pi^0$ -мезонов. Средняя точность определения  $q_T$  и  $q_0$  в области эффекта составляет соответственно 35 и 47 МэВ/с. Не обнаружено существенного влияния экспериментальных ошибок на результаты аппроксимации, кроме распределений по  $q_0$ , где получаемые значения  $\tau$  систематически меньше истинных. Этот эффект учитывается в дальнейшем как систематическое искажение.

Небольшая точность определения параметров аппроксимируемых функций является следствием ограниченной статистики в принятых интервалах  $q_T$  и  $q_0$ . В дальнейшем распределения по  $q_T$  и  $|q|$  анализировались при  $q_0 < 0,3$  ГэВ, распределения по  $q_0$  — при  $q_T < 0,3$  ГэВ/с. Результаты аппроксимации даны в табл. 2.

Предположение о пространственном распределении источников в виде функции Гаусса приводит к зависимости корреляционной функции от разности импульсов пионов  $|q|$  в виде (см. формулу 5):

$$R(|\vec{q}|; r_0) = A(1 + \lambda e^{-\vec{q}^2 r_0^2}), \quad (10)$$

где коэффициент  $\lambda$  включает в себя усреднение по  $q_0$ . Результаты соответствующей аппроксимации приведены в табл.2. В случае сферически-симметричной формы излучающей системы средне-квадратичный радиус области испускания связан с  $r_0$  зависимостью  $\langle r^2 \rangle^{1/2} = \sqrt{3} r_0$ . Учитывая это, получаем  $\langle r^2 \rangle^{1/2} = 1,13 \pm 0,23$  фм.

Таблица 2

Результаты аппроксимации экспериментальных распределений

Тип распределений	A	$\lambda$	$r, r_0, c\tau$ (фм)	$\chi^2/\text{число ст.своб.}$
$R = f(q_T; r)$	$0,88 \pm 0,12$	$0,87 \pm 0,26$	$1,21 \pm 0,25$	13/14
$R = f(q_0; r)$	$0,69 \pm 0,18$	$1,1 \pm 0,5$	$0,6 \pm 0,2$ стат.	
			$+0,2^{+0,2}_{-0,1}$ сист.	17/14
$R = f( q ; r_0)$	$0,91 \pm 0,11$	$1,03 \pm 0,25$	$0,65 \pm 0,13$	12/14
$R = f(Q; r_0)$	$0,99 \pm 0,06$	$0,86 \pm 0,17$	$0,82 \pm 0,14$	17/18

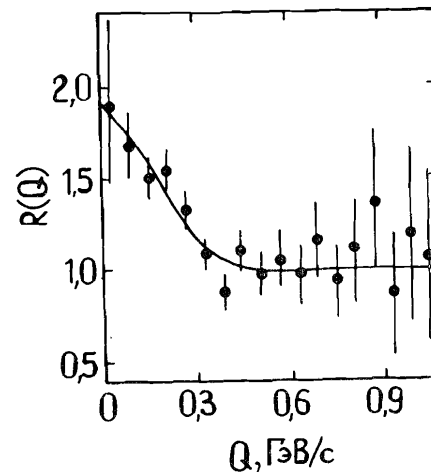


Рис.2. Экспериментальное распределение  $R(Q)$ . Кривая представляет результаты аппроксимации по формуле (12).

Эффект интерференционных корреляций должен проявляться также в распределении по эффективной массе пар пионов ( $M_{\pi\pi}$ ), так как существует прямая связь:

$$Q^2 = M_{\pi\pi}^2 - 4m_\pi^2, \quad (11)$$

где  $m_\pi$  - масса пиона. Соответствующее распределение показано на рис.2. Оно аппроксимировалось зависимостью (см. формулу 7):

$$R(Q; r_0) = A(1 + \lambda e^{-Q^2 r_0^2}). \quad (12)$$

Результаты аппроксимации приведены в табл.2. Как видно, не наблюдается сильного отличия от результатов, полученных с использованием других переменных. Как уже отмечалось, получаемые размеры области излучения могут зависеть от системы отсчета, в которой проводится анализ. Например, в движущейся системе отсчета могут изменяться продольные размеры области излучения и длительность процесса <sup>26, 27</sup>. Главным образом эти изменения зависят от лоренц-фактора движущейся системы относительно системы покоя источников. В нашем случае лоренц-фактор системы падающего пиона и покоящегося нуклона равен  $\gamma_{\pi N} = 1,6$ , а среднее значение  $\gamma$ , полученное путем симметризации "вперед-назад" угловых распределений  $\pi^0$ -мезонов, составляет  $\bar{\gamma}_{\pi^0} = 1,25$  для событий с  $N_{\pi^0} \geq 2$ . Поэтому можно ожидать, что эффекты, связанные с движением системы отсчета относительно излучающей системы, не будут здесь значительны.

## ЗАКЛЮЧЕНИЕ

Наблюдены интерференционные корреляции нейтральных пионов. Полученные размеры области излучения  $\pi^0$ -мезонов и временные интервалы их генерации составляют:  $\langle r^2 \rangle^{1/2} = 1,2 \pm 0,3$  фм,  $c\tau = 0,8^{+0,4}_{-0,3}$  фм. Эти результаты соответствуют аналогичным результатам работ, выполненных по корреляциям заряженных пионов, образованных в адрон-адронных взаимодействиях <sup>10-12</sup>. Полу-

ченные размеры меньше размеров области излучения заряженных пионов в ядро-ядерных взаимодействиях при энергиях порядка нескольких ГэВ на нуклон /15-17/.

Авторы выражают глубокую благодарность М.И.Подгорецкому и Р.Ледницкому за многочисленные и плодотворные обсуждения. Авторы благодарны также всем сотрудникам группы ксенонной пузырьковой камеры в Варшаве и в Дубне за участие в методической обработке экспериментальных данных.

Авторы выражают благодарность доктору М.Совинскому — полномочному представителю правительства ПНР в ОИЯИ за поддержку настоящей работы.

#### ЛИТЕРАТУРА

1. Г.И.Копылов, М.И.Подгорецкий: ЯФ, 1973, т.18, 656.
2. G.I. Kopylov: Phys. Lett., 1974, t.50B, 472.
3. G.Cocconi: Phys. Lett., 1974, t.49B, 459.
4. M.G.Bowler: Z. Phys. C, 1985, t.29, 617.
5. M.Gyulassy, S.K.Kauffman, L.W.Wilson, Phys. Rev. C, 1979, t.20, 2267.
6. M.Biyajima: Phys. Lett., 1980, 92B, 193; 1983, 132B, 229.
7. Scott Pratt: Phys. Rev., 1984, t.53, 1219.
8. Р.Ледницки, В.Л.Любошиц: ЯФ, 1982, т.35, 1316.
9. F.B.Yano, S.E.Koonin: Phys. Lett., 1978, t.78B, 556.
10. M.Deutschman et al.: Nucl. Phys., 1982, t.204B, 333.
11. N.Akhababian et al.: Z. Phys.C, 1983, t.18, 97.
12. A.Breakstone et al.: Phys. Lett., 1985, t.162B, 400.
13. Н.Ангелов и др.: ЯФ, 1981, т.33, 1257.
14. C.De Marzo et al.: Phys. Rev. D, 1984, t.29, 363.
15. D.Beavis et al.: Phys. Rev. C, 1983, t.27, 910.
16. W.A.Zajc et al.: Phys. Rev. C, 1984, t.29, 2173.
17. Г.Н.Агакишиев и др.: ЯФ, 1984, т.39, 543.
18. H. Aihara et al.: Phys. Rev. D, 1985, t.31, 996.
19. M.Althoff et al.: Z. Phys. C, 1986, t.30, 355.
20. K.Eskreys: Acta Phys. Polon., 1969, t.36, 237.
21. Z.Strugalski et al.: JINR, 1981, Dubna, E1-81-578.
22. З.Стругальски и др.: ОИЯИ, Дубна, 1983, P1-83-68.
23. Я.Плюта, З.Стругальски: ОИЯИ Дубна, 1973, P1-7398.
24. Б.Словинский: ОИЯИ Дубна, 1974, P10-7681.
25. М.И.Подгорецкий, А.П.Чеплаков: ОИЯИ Дубна, 1985, P2-85-603.
26. М.И.Подгорецкий: ЯФ, 1983, т.37, 455.
27. Н.Ангелов и др.: ЯФ, 1983, т.37, 338.

Рукопись поступила в издательский отдел  
28 августа 1986 года.

Гришин В.Г. и др.

P1-86-585

Наблюдение эффекта ( $\pi^0\pi^0$ )-интерференции  
и размеры области испускания  $\pi^0$ -мезонов  
в  $\pi^-$ -Xe взаимодействиях при 3,5 ГэВ/с

Представлены результаты исследования двухчастичных корреляций  $\pi^0$ -мезонов, испускаемых с близкими импульсами в  $\pi^-$ -Xe-взаимодействиях при импульсе налетающего пиона 3,5 ГэВ/с. Обнаружены интерференционные корреляции  $\pi^0$ -мезонов. Определены размеры области испускания нейтральных пионов и дана оценка времени их генерации:  $\tau = 1,2 \pm 0,3$  фм,  $c\tau = 0,8_{-0,3}^{+0,4}$  фм. Эти значения соответствуют результатам, полученным в адрон-адронных взаимодействиях, но они меньше значений  $\tau$  и  $c\tau$  для ядро-ядерных взаимодействий при тех же энергиях.

Работа выполнена в Лаборатории высоких энергий ОИЯИ.

Препринт Объединенного института ядерных исследований. Дубна 1986

Перевод О.С.Виноградовой

Grishin V.G. et al.

P1-86-585

Observation of  $\pi^0\pi^0$ -Interference Effect  
and Size of Neutral Pion Emission Volume  
in  $\pi^-$ -Xe-Interactions at 3.5 GeV/c

Results from two-particle correlation studies are presented for  $\pi^0$ -mesons ejected in  $\pi^-$ -Xe collisions at 3.5 GeV/c momentum. Interference correlations of  $\pi^0$  mesons are found. Size of the region is determined, where the  $\pi^0$  mesons are ejected from, and the  $\pi^0$  generation time is estimated:  $\tau = 1.2 \pm 0.3$  fm,  $c\tau = 0.8_{-0.3}^{+0.4}$  fm. The results correspond to those obtained in hadron-hadron collisions, but the values of  $\tau$  and  $c\tau$  are smaller than those for nucleus-nucleus collisions at such energies.

The investigation has been performed at the Laboratory of High Energies, JINR.

Preprint of the Joint Institute for Nuclear Research. Dubna 1986